

ОБЪЕДИНЕННЫЙ
ИНСТИТУТ
ЯДЕРНЫХ
ИССЛЕДОВАНИЙ
ДУБНА



С343а

A-941

4573 / 2-76

15/xi-76

P4 - 9890

Г.Н.Афанасьев, В.М.Шилов

ВЫДЕЛЕНИЕ КАНАЛА СЛИЯНИЯ
В РЕАКЦИЯХ С ТЯЖЕЛЫМИ ИОНАМИ

1976

P4 - 9890

Г.Н.Афанасьев, В.М.Шилов

**ВЫДЕЛЕНИЕ КАНАЛА СЛИЯНИЯ
В РЕАКЦИЯХ С ТЯЖЕЛЫМИ ИОНАМИ**

Направлено в ЯФ

1. Более 20 лет тому назад Т.Д.Томасом^{/1/} была предложена модель для описания реакций с тяжелыми ионами. Суть этой модели состоит в следующем. Вводится феноменологический оптический потенциал, такой, что при $g > R$ имеет место кулоновское взаимодействие, а при $g < R$ - полное поглощение. Вычисленное в рамках этой модели сечение отождествляется с сечением образования составного ядра. Позднее оказалось, что это сечение является скорее сечением реакции, а не сечением слияния. Затем последовала серия работ, посвященных выделению канала слияния в реакциях с тяжелыми ионами. Мы остановимся только на одной из них^{/2/}. В этой работе М.Лефортом было введено понятие критического расстояния. Оптический потенциал выбирался в виде суммы ядерного, кулоновского и центробежного

$$V = V_{\text{яд}} + V_{\text{кул}} + \frac{\ell(\ell + 1)}{2\mu r^2}. \quad /1.1/$$

Ядерная часть ион-ионного потенциала вычислялась в приближении внезапного удара по бракнеровской методике. Пусть для энергии E налетающего иона точка поворота расположена при $r = r_{\text{пов}}^{(\ell)}(E)$. Тогда в модели Лефорта постулируется, что в сечении слияния вклад дают только те значения орбитального момента ℓ , для которых точка поворота $r_{\text{пов}}^{(\ell)}(E)$ расположена левее некоторого, так называемого критического расстояния $R_{\text{кр}}$. При таком значении $R_{\text{кр}}$ размораживаются внутренние степени свободы ядра, что и приводит к слиянию. Большие значения орбитального момента ℓ приводят к поверхностным и глубоко-неупругим соударениям.

Оказалось, что критическое расстояние зависит только от атомных весов сталкивающихся ядер и не зависит от энергии:

$$R_{кр} = r_0 (A_1^{1/3} + A_2^{1/3}),$$

причем $r_0 = 1$ Фм. Наконец, сечение образования составного ядра определялось по формуле

$$\sigma_f = \pi \lambda^2 \sum_{\ell=0}^{\ell_{кр}} (2\ell + 1) = \pi \lambda^2 (\ell_{кр} + 1)^2. \quad /1.2/$$

Ясно, что процедура вычисления сечения слияния по формуле /1.2/ является только рецептом /хотя и весьма удачным/. На наш взгляд, настоящей является задача построения модели, столь же простой и обоснованной с точки зрения правил квантовой механики, как и модель Томаса, но позволяющей описать качественно сечение реакции и сечение слияния.

2. Предлагается следующая простая модель, являющаяся модификацией модели Томаса. Вещественная часть потенциала выбирается в виде

$$V = \begin{cases} \frac{Z_1 Z_2 e^2}{r}, & r > R; \\ -V_0, & r < R. \end{cases}$$

Далее предполагается, что при $r \leq a$ ($a \leq R$) имеет место полное слияние. Под слиянием в данном случае мы понимаем наличие при $r \leq a$ только сходящейся сферической волны:

$$\Psi_{in}(r) = A_{\ell} h_{\ell}^{(2)}(k_0 r) \quad \text{при } r \leq a,$$

где $k_0 = \sqrt{\frac{2\mu(E+V_0)}{h^2}}$, а функция $h_{\ell}^{(2)}$ следующим образом

связана с функцией Ханкеля:

$$h_{\ell}^{(1,2)}(z) = \sqrt{\frac{\pi z}{2}} H_{\ell+1/2}^{(1,2)}(z).$$

Впрочем, как и в модели Томаса, в данном случае несущественно поведение волновой функции при $r < a$, существенно лишь граничное условие при $r = a$.

В промежутке $a < r < R$ потенциал содержит также и мнимую часть:

$$V(r) = -V_0 - iW_0.$$

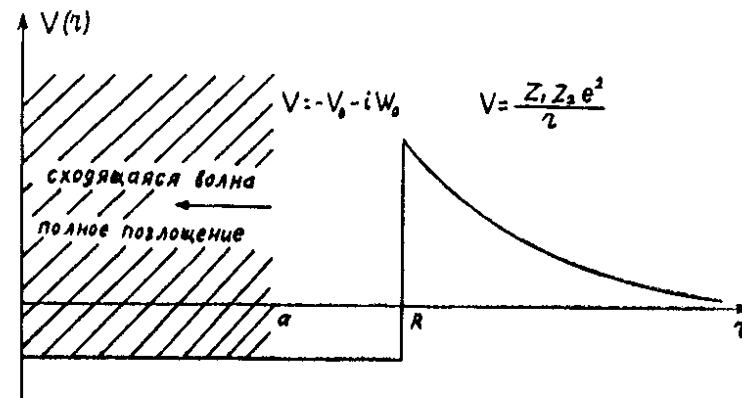


Рис. 1. Схематическое изображение рассматриваемой модели.

Решение в этой области имеет вид:

$$B_{\ell} h_{\ell}^{(1)}(k_1 r) + C_{\ell} h_{\ell}^{(2)}(k_1 r),$$

$$k_1 = [2\mu(E + V_0 + iW_0)/h^2]^{1/2}.$$

Наконец, во внешней области ($r > R$) имеем:

$$\Psi = f_{\ell}^{(2)}(kr) - S_{\ell} f_{\ell}^{(1)}(kr), \quad k = \sqrt{\frac{2\mu E}{h^2}},$$

где $f_{\ell}^{(1,2)}(x)$ являются следующими комбинациями кулоновских функций:

$$f_{\ell}^{(1,2)}(x) = G_{\ell}(\eta, x) \pm iF_{\ell}(\eta, x).$$

Условия сшивания волновых функций и их производных при $r = a$ и $r = R$ определяют частичную S-матрицу, а

также коэффициенты B_ℓ , C_ℓ , A_ℓ . Ввиду элементарности получения этих коэффициентов и для того, чтобы не загромождать текст, явный вид коэффициентов S_ℓ и Λ_ℓ мы приводим в Приложении.

Легко видеть, что величина

$$|A_\ell|^2 \frac{k_0}{k}$$

показывает, какая часть начального потока /равного 1/ достигает области $r < a$, т.е., по нашей терминологии, области слияния. Тогда сечение реакции и сечение слияния определяются следующими выражениями:

$$\sigma_R = \pi \lambda^2 \sum (2\ell + 1) T_\ell^2, \quad T_\ell = 1 - |S_\ell|^2;$$

$$\sigma_F = \pi \lambda^2 \sum (2\ell + 1) \frac{k_0}{k} |A_\ell|^2.$$

3. Обсудим теперь некоторые физические следствия данного определения сечения слияния. Прежде всего, заметим, что сечение реакции всегда превышает сечение слияния. Это связано с процессами, происходящими в поверхностном слое /реакции срыва, подхвата и т.д./. В нашей модели за эти процессы ответственна мнимая часть потенциала, сосредоточенная как раз в поверхностной области. Понятно, что при $W_0 = 0$ мы из физических соображений должны иметь

$$\sigma_R = \sigma_F.$$

Это подтверждается и непосредственным вычислением по формулам /П.1/ и /П.2/ Приложения. Отличие σ_R и σ_F должно уменьшаться с уменьшением глубины мнимого потенциала W_0 , с уменьшением толщины поверхностного слоя /т.е. области действия W_0 /, с увеличением энергии налетающего иона и глубины реальной части потенциала V_0 . Последнее обстоятельство объясняется тем, что при больших значениях энергии E /или V_0 / можно произвести разложение по параметру $\frac{W_0}{E + V_0}$, при этом σ_R и σ_F отличаются на величину того же порядка малости.

Как было показано в /3/, при очень больших значениях W_0 S-матрица снова приближается к унитарному пределу. Это связано с большой величиной комплексного потенциального барьера. При этом почти вся падающая волна отражается, а та небольшая часть потока, которая доходит до области слияния $r = a$, оказывается существенно ослабленной /из-за большой величины W_0 /. В этом случае стремятся к нулю и сечение реакции, и сечение слияния, причем последнее значительно быстрее. Наконец, отметим, что при $R = a$ или $W_0 = 0$ модель переходит в модель Томаса /1/.

4. Проиллюстрируем сказанное на примере реакции $^{16}\text{O} + ^{40}\text{Ca}$. Параметры R и a выбраны равными соответственно томасовскому и лефортговскому радиусам:

$$R = r_0 (A_1^{1/3} + A_2^{1/3}), \quad r_0 = 1,5 \text{ Фм};$$

$$a = r_1 (A_1^{1/3} + A_2^{1/3}), \quad r_1 = 1,0 \text{ Фм}.$$

Глубина реальной части потенциала такая же, как в работе Томаса /1/, т.е. $V_0 = 2,063 \text{ МэВ}$. На рис. 2 показаны сечения реакции и сечения слияния в зависимости от энергии налетающих ионов для различных значений мнимой части потенциала.

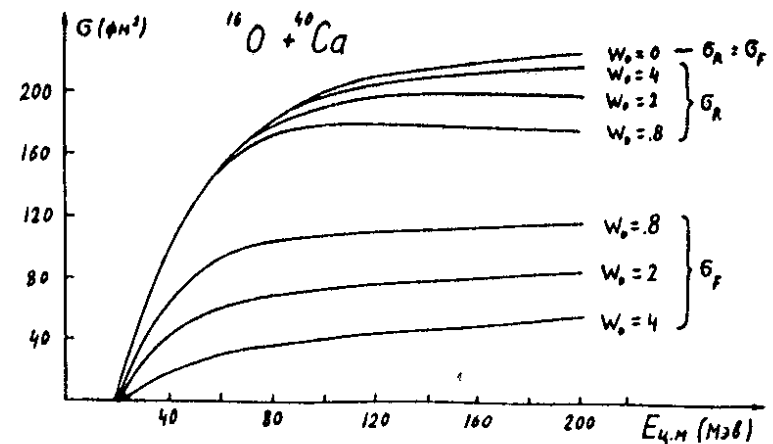


Рис. 2. Сечения возбуждения и слияния для реакции $(^{16}\text{O}, ^{40}\text{Ca})$, вычисленные в рамках данной модели. Цифры справа от кривых означают глубину мнимой части потенциала.

Таким образом, подтверждаем качественные выводы, сделанные в п. 3 настоящей работы: сечение слияния с возрастанием W_0 убывает быстрее, чем сечение реакции. Именно, в интервале $(0 \leq W_0 \leq 10)$ МэВ сечение реакции почти не меняется, тогда как сечение слияния падает почти на 2 порядка. Этим обстоятельством можно воспользоваться, чтобы добиться падения сечения слияния, начиная с некоторой энергии. Для этого достаточно в минимую часть потенциала ввести слабую зависимость от энергии падающих ионов.

5. Данная модель, будучи качественной, несвободна от недостатков. Самое серьезное возражение состоит в использовании оптической модели. Оправданием, однако, служит тот факт, что концепция оптической модели в явном или в неявном виде эксплуатируется в подавляющем большинстве работ по слиянию ядер. Далее, чрезмерно упрощенный вид потенциала /прямоугольная яма/ может заметно исказить зависимость сечений слияния от энергии, затушевать различные тонкие эффекты. Оптимальным является, по-видимому, следующий путь. Из экспериментов по упругому рассеянию тяжелых ионов извлекаем оптический потенциал. Этот оптический потенциал искажаем, вводя на радиусе, равном лефорттовскому, условие полного слияния. Поскольку упругое рассеяние тяжелых ионов /как и альфа-частиц/ чувствительно только к виду потенциала вблизи поверхности, то можно надеяться, что искаженный оптический потенциал будет столь же хорошо описывать упругое рассеяние, как и исходный. Граничные условия при лефорттовском радиусе и сшивание вычисленных на ЭВМ волновых функций с линейной комбинацией кулоновских функций в области, где можно пренебречь ядерным потенциалом, однозначно определяют парциальную матрицу рассеяния и поток, проникающий во внутреннюю область. Это, в свою очередь, определит сечение реакции и сечение слияния.

Наконец, остановимся на популярной в настоящее время модели Гласа и Мозеля^{14/}. Эта модель нам представляется недостаточно обоснованной по следующей причине. Именно, потенциал, используемый в^{14/}, является вещественным. Для произвольного вещественного потенциала

матрица рассеяния унитарна, а, следовательно, все парциальные проицаемости, сечения реакции и слияния тождественно равны нулю. Ненулевой результат для перечисленных величин получился в^{14/} за счет использования одномерного потенциального барьера. Подчеркнем, что мы не возражаем против замены реального потенциала вблизи барьера перевернутой параболой, но с учетом трехмерности задачи. В трехмерном случае для вещественного потенциала прошедшая через барьер волна в результате отражений и преломлений на неоднородностях потенциала и после повторного прохождения барьера складывается с отраженной волной, дополняя ее амплитуду по абсолютной величине до единицы. В одномерном случае волна, пройдя барьер, не может возвратиться к исходной точке /если нет отражающей стенки/. Модель Гласа и Мозеля становится справедливой и в трехмерном случае, если постулировать полное поглощение после прохождения барьера. В любом случае, однако, на формулы для сечений реакции и слияния, полученные в^{14/}, можно смотреть, как на удобные параметризации. Актуальной задачей, на наш взгляд, остается физическое обоснование этих формул в трехмерном случае. Данная работа является попыткой в этом направлении.

Приложение

Бесселевы функции $h_{\ell}^{(1,2)}(x)$ и кулоновские функции $f_{\ell}^{(1,2)}$ удобны тем, что на больших расстояниях они ведут себя, как сходящиеся и расходящиеся экспоненты. Ради полноты приведем некоторые свойства этих функций:

$$\dot{h}_{\ell}(x) = -h_{\ell+1}(x) + \frac{\ell+1}{x} h_{\ell}(x) = h_{\ell+1}(x) - \frac{\ell}{x} h_{\ell}(x),$$

$$\dot{f}_{\ell}(x) = \left(\frac{\ell+1}{x} + \frac{\eta}{\ell+1} \right) f_{\ell}(x) - \left[1 + \left(\frac{\eta}{\ell+1} \right)^2 \right]^{1/2} f_{\ell+1}(x),$$

$$f_{\ell}^{(1)} f_{\ell}^{(2)} - f_{\ell}^{(2)} f_{\ell}^{(1)} = -2i,$$

$$h_{\ell}^{(1)} \dot{h}_{\ell}^{(2)} - h_{\ell}^{(2)} \dot{h}_{\ell}^{(1)} = -2i.$$

Далее, положим:

$$B = k_1 \dot{h}_{\ell}^{(2)}(k_1 a) h_{\ell}^{(2)}(k_0 a) - k_0 \dot{h}_{\ell}^{(2)}(k_1 a) h_{\ell}^{(2)}(k_0 a),$$

$$C = k_0 \dot{h}_{\ell}^{(1)}(k_1 a) h_{\ell}^{(2)}(k_0 a) - k_1 \dot{h}_{\ell}^{(2)}(k_0 a) h_{\ell}^{(1)}(k_1 a),$$

$$D_{11} = h_{\ell}^{(1)}(k_1 R) k f_{\ell}^{(1)} - f_{\ell}^{(1)} k_1 \dot{h}_{\ell}^{(1)}(k_1 R),$$

$$D_{12} = h_{\ell}^{(1)}(k_1 R) k f_{\ell}^{(2)} - f_{\ell}^{(2)} k_1 \dot{h}_{\ell}^{(1)}(k_1 R),$$

$$D_{21} = k f_{\ell}^{(1)} h_{\ell}^{(2)}(k_1 R) - k_1 \dot{h}_{\ell}^{(2)}(k_1 R) f_{\ell}^{(1)},$$

$$D_{22} = k f_{\ell}^{(2)} h_{\ell}^{(2)}(k_1 R) - k_1 \dot{h}_{\ell}^{(2)}(k_1 R) f_{\ell}^{(2)},$$

где все функции $f_{\ell}^{(1,2)}$, $\dot{f}_{\ell}^{(1,2)}$ зависят от аргумента kR . Тогда для парциальной S -матрицы и коэффициента A_{ℓ} имеем следующие выражения:

$$S_{\ell} = \frac{BD_{12} + CD_{22}}{BD_{11} + CD_{21}}, \quad /П.1/$$

$$A_{\ell} = \frac{4kk_1}{BD_{11} + CD_{21}}. \quad /П.2/$$

Исследуем, как ведут себя S_{ℓ} , A_{ℓ} в предельных случаях.

1. $W_0 = 0$.

В этом случае имеем:

$$B = 0, \quad C = -2ik_0,$$

$$S_{\ell} = \frac{k f_{\ell}^{(2)} h_{\ell}^{(2)}(k_0 R) - k_0 \dot{h}_{\ell}^{(2)}(k_0 R) f_{\ell}^{(2)}}{k f_{\ell}^{(1)} h_{\ell}^{(2)}(k_0 R) - k_0 \dot{h}_{\ell}^{(2)}(k_0 R) f_{\ell}^{(1)}},$$

$$T_{\ell} = 1 - |S|^{-2} = \frac{4kk_0}{|k f_{\ell}^{(1)} h_{\ell}^{(2)}(k_0 R) - k_0 \dot{h}_{\ell}^{(2)}(k_0 R) f_{\ell}^{(1)}|^2}.$$

$$A_{\ell} = \frac{2ik}{k f_{\ell}^{(1)} h_{\ell}^{(2)}(k_0 R) - k_0 \dot{h}_{\ell}^{(2)}(k_0 R) f_{\ell}^{(1)}}.$$

$$\text{Т.е. } |A_{\ell}|^2 \frac{k_0}{k} = T_{\ell} \quad \text{и} \quad \sigma_R = \sigma_F.$$

Заметим, что хотя в этом случае мнимая часть потенциала отсутствует, S -матрица неунитарна, что является следствием существенно неунитарного граничного условия.

2. $W_0 = \infty$.

В этом случае:

$$k_1 = k_w(1+i), \quad k_w = \sqrt{\frac{\mu W_0}{h^2}},$$

$$B = (1-i)k_w e^{k_w a} e^{-ik_w a} h_{\ell}^{(2)}(k_0 a),$$

$$C = (1-i)k_w e^{-k_w a} e^{ik_w a} h_{\ell}^{(2)}(k_0 a),$$

$$D_{12} = (1-i)k_w f_{\ell}^{(2)} e^{-k_w R} e^{ik_w R},$$

$$D_{22} = -(1-i)k_w f_{\ell}^{(2)} e^{k_w R} e^{-ik_w R},$$

$$D_{11} = (1-i)k_w f_{\ell}^{(1)} e^{-k_w R} e^{ik_w R},$$

$$D_{21} = (1-i)e^{-ik_w R} e^{k_w R} f_{\ell}^{(1)},$$

$$BD_{12} + CD_{22} = 2ik_w^2 e^{k_w(R-a)} e^{-ik_w(R-a)} f_{\ell}^{(2)} h_{\ell}^{(2)}(k_0 a),$$

$$BD_{11} + CD_{21} = 2ik_w^2 e^{k_w(R-a)} e^{-ik_w(R-a)} f_{\ell}^{(1)} h_{\ell}^{(1)}(k_0 a),$$

$$S = \frac{f_{\ell}^{(2)}}{f_{\ell}^{(1)}}.$$

$$A_{\ell} = \frac{2k(1-i)}{k_w} \frac{e^{ik_w(R-a)} e^{-k_w(R-a)}}{h_{\ell}^{(2)}(k_0 a) f_{\ell}^{(1)}(kR)} .$$

Таким образом, в данном случае S-матрица стремится к унитарному пределу, а A_{ℓ} экспоненциально мало.

3. $E = \infty$.

В этом случае имеем:

$$|S_{\ell}| \rightarrow 0, \quad |A_{\ell}|^2 \rightarrow 1.$$

Заменяя в σ_R и σ_F суммирование по ℓ интегрированием, находим, что σ_R и σ_F стремятся к:

$$\sigma_R \sim \pi a^2,$$

$$\sigma_F \sim \pi a^2.$$

Литература

1. T.D.Thomas. *Phys. Rev.*, 116, 703 (1959).
2. M.Lefort. *Preprint IPNO-RC-74-08, Orsay, 1974.*
3. Г.Н.Афанасьев, С.Аврамов, М.Б.Добромыслов, Ким Ынг Пхунг, В.М.Шилов. *Препринт ОИЯИ, Р4-9892, Дубна, 1976.*
4. D.Glass, U.Mosel. *Nucl.Phys.*, A237, 429 (1975).